

FM210 - FISICA MATEMATICA I

SOLUZIONI AL TUTORATO DEL 9-1-2012

1. Due particelle di massa  $m$  e coordinate  $\mathbf{x}, \mathbf{y} \in \mathbb{R}^3$  si muovono sotto l'effetto di una forza centrale di energia potenziale  $V(r)$ :

$$\begin{cases} m\ddot{\mathbf{x}} = -\partial_{\mathbf{x}}V(|\mathbf{x} - \mathbf{y}|) \\ m\ddot{\mathbf{y}} = -\partial_{\mathbf{y}}V(|\mathbf{x} - \mathbf{y}|) \end{cases}$$

con

$$V(r) = \frac{\alpha}{r^4}$$

e  $\alpha > 0$ .

- Si esprima la soluzione alle equazioni del moto come una combinazione lineare del moto del centro di massa e del moto relativo.
- Si trovino gli integrali primi del moto del centro di massa e del moto relativo.
- Si analizzino qualitativamente il moto del centro di massa e il moto relativo.

Siano  $\mathbf{x}(t)$  e  $\mathbf{y}(t)$  le soluzioni alle equazioni del moto con condizioni "iniziali" (asintotiche nel passato)

$$\mathbf{x}(t) \underset{t \rightarrow -\infty}{\simeq} \bar{\mathbf{x}} + \mathbf{v}_0 t, \quad \lim_{t \rightarrow -\infty} \mathbf{y}(t) = \mathbf{0}$$

dove  $\mathbf{x}(t) \underset{t \rightarrow -\infty}{\simeq} \bar{\mathbf{x}} + \mathbf{v}_0 t$  significa che  $\lim_{t \rightarrow -\infty} t^{-1}\mathbf{x}(t) = \mathbf{v}_0$  e  $\lim_{t \rightarrow -\infty} (\mathbf{x}(t) - \mathbf{v}_0 t) = \mathbf{b}$ . Inoltre,  $\mathbf{v}_0 = v_0(1, 0, 0)$  e  $\bar{\mathbf{x}} = -b(0, 1, 0)$ , con  $v_0, b > 0$ .

- Si determini il comportamento asintotico nel futuro di  $\mathbf{x}(t)$  e  $\mathbf{y}(t)$ .

**Soluzione.**

(a) Siano:  $\mathbf{R} = \frac{\mathbf{x} + \mathbf{y}}{2}$  e  $\mathbf{r} = \mathbf{y} - \mathbf{x}$  le coordinate del centro di massa e della posizione relativa delle due particelle. Le equazioni per  $\mathbf{R}$  e  $\mathbf{r}$  sono disaccoppiate e hanno la forma:

$$\ddot{\mathbf{R}} = \mathbf{0}, \quad \ddot{\mathbf{r}} = -V'(\rho)\hat{\mathbf{r}}, \quad (1)$$

dove  $\rho = |\mathbf{r}|$  e  $\hat{\mathbf{r}} = \frac{\mathbf{r}}{\rho}$ . La soluzione alle equazioni del moto originali, scritte in termini di  $\mathbf{x}$  e  $\mathbf{y}$ , può essere espressa in termini della soluzione alla Eq.(1) come segue:

$$\mathbf{x}(t) = \mathbf{R}(t) - \frac{\mathbf{r}(t)}{2}, \quad \mathbf{y}(t) = \mathbf{R}(t) + \frac{\mathbf{r}(t)}{2},$$

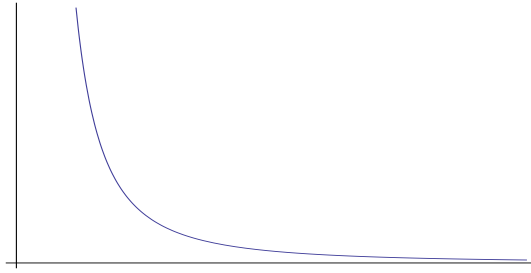


Figura 1: Grafico della funzione  $V(r)$ ,  $r \geq 0$ .

(b) L'equazione per  $(\mathbf{R}, \mathbf{V})$ , con  $\mathbf{V} := \dot{\mathbf{R}}$  ammette 5 integrali primi indipendenti: le tre componenti di  $\mathbf{V}$  e le due componenti di  $\mathbf{R} \wedge \mathbf{V}$  nel piano ortogonale a  $\mathbf{V}$ . L'equazione per  $(\mathbf{r}, \mathbf{v})$ , con  $\mathbf{v} := \dot{\mathbf{r}}$  ammette 4 integrali primi indipendenti: le 3 componenti del momento angolare  $\mathbf{L} = \mu \mathbf{r} \wedge \mathbf{v}$ , dove  $\mu = \frac{m}{2}$  è la massa ridotta, e l'energia meccanica del moto relativo:

$$E = \frac{1}{2} \mu \dot{\rho}^2 + V_{eff}(\rho), \quad V_{eff}(\rho) := \frac{L^2}{2\mu\rho^2} + V(\rho),$$

dove  $L = |\mathbf{L}|$ .

(c) Il moto del centro di massa è un moto rettilineo uniforme della forma:

$$\mathbf{R}(t) = \mathbf{R}_0 + \mathbf{V}_0 t,$$

dove  $\mathbf{R}_0 := \mathbf{R}(0)$  e  $\mathbf{V}_0 = \mathbf{V}(0)$  sono la posizione e la velocità del centro di massa all'istante iniziale.

Il moto della coordinata relativa si può studiare qualitativamente nel modo seguente. Se  $\mathbf{L} = \mathbf{0}$  allora il moto si svolge sulla retta che congiunge l'origine con  $\mathbf{r}_0$ . Chiamando  $\rho$  la coordinata su tale retta, il moto di  $\rho$  è quello di una massa puntiforme  $\mu$  che si muove in 1D sotto l'effetto dell'energia potenziale  $V(\rho)$ .

In particolare, i valori ammessi dell'energia meccanica  $E = \frac{1}{2} \mu \dot{\rho}^2 + V(\rho)$  sono  $E > 0$ , e per ogni scelta di  $E > 0$ , il moto è aperto (i.e.,  $\lim_{t \rightarrow \pm\infty} \rho(t) = +\infty$ ) e si svolge nella regione  $\rho \geq \rho_- := (\alpha/E)^{1/4}$ . Le traiettorie nel piano  $(\rho, \dot{\rho})$  sono descritte dall'equazione  $\dot{\rho} = \pm \sqrt{\frac{2}{\mu}(E - \frac{\alpha}{\rho^4})}$  e hanno la forma della Fig. 2.

Data  $E > 0$ , il moto è risolto per quadrature da:

$$t = \pm \int_{\rho_0}^{\rho(t)} \frac{d\rho}{\sqrt{\frac{2}{\mu}(E - \frac{\alpha}{\rho^4})}}$$

dove  $\rho_0 \geq \rho_-$  e il segno di fronte all'integrale va scelto in base al segno di  $\dot{\rho}$ , i.e., in base alla porzione di curva di livello (quella nel primo o nel quarto quadrante) su cui si sta muovendo il punto di coordinata  $\rho$ .

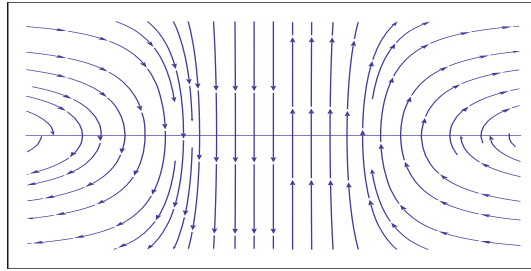


Figura 2: Orbite del moto radiale per  $L = 0$  nel piano  $(r, \dot{r})$  con  $r \in \mathbb{R}$  coordinata lungo la retta su cui si svolge il moto.

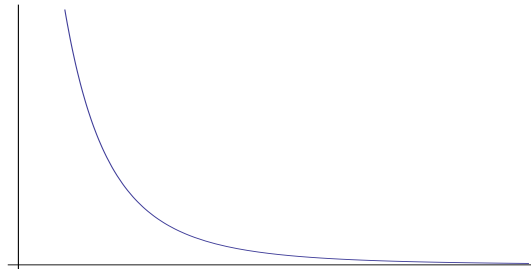


Figura 3: Grafico della funzione  $V_{eff}(r)$ ,  $r \geq 0$ .

Se invece  $\mathbf{L} \neq \mathbf{0}$ , allora il moto si svolge sul piano ortogonale a  $\mathbf{L}$ . Scegliamo coordinate adatte a tale piano, in corrispondenza delle quali  $r_3 = 0$  e  $L_3 = L = \mu\rho^2\dot{\theta} > 0$ , dove  $(\rho, \theta)$  sono le coordinate polari associate a  $(r_1, r_2)$ ; i.e.,  $r_1 = \rho \cos \theta$ ,  $r_2 = \rho \sin \theta$ . Il moto di  $(\rho, \dot{\rho})$  è quello di una massa puntiforme  $\mu$  che si muove in 1D sotto l'effetto dell'energia potenziale  $V_{eff}(\rho)$ .

In particolare, i valori ammessi dell'energia meccanica  $E = \frac{1}{2}\mu\dot{\rho}^2 + V(\rho)$  sono  $E > 0$ , e per ogni scelta di  $E > 0$ , il moto è aperto (i.e.,  $\lim_{t \rightarrow \pm\infty} \rho(t) = +\infty$ ) e si svolge nella regione

$$\rho \geq \rho_- := \sqrt{\frac{L^2}{4\mu E} + \sqrt{\frac{L^4}{16\mu^2 E^2} + \frac{\alpha}{E}}}$$

Le traiettorie nel piano  $(\rho, \dot{\rho})$  sono descritte dall'equazione  $\dot{\rho} = \pm \sqrt{\frac{2}{\mu}(E - \frac{L^2}{2\mu\rho^2} - \frac{\alpha}{\rho^4})}$  e hanno la forma della Fig. 4.

Data  $E > 0$ , il moto è risolto per quadrature da:

$$t = \pm \int_{\rho_0}^{\rho(t)} \frac{d\rho}{\sqrt{\frac{2}{\mu}(E - \frac{L^2}{2\mu\rho^2} - \frac{\alpha}{\rho^4})}}$$

dove  $\rho_0 \geq \rho_-$  e il segno di fronte all'integrale va scelto in base al segno di  $\dot{\rho}$ , i.e., in base alla porzione di curva di livello (quella nel primo o nel

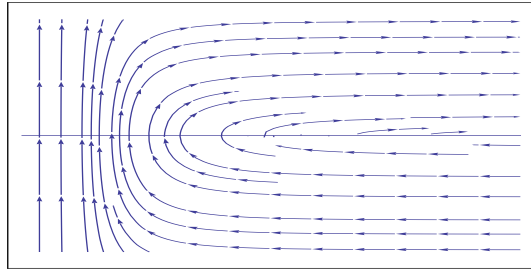


Figura 4: Orbite del moto radiale nel caso  $L \neq 0$ .

quarto quadrante) su cui si sta muovendo il punto di coordinata  $\rho$ . Una volta risolto per quadrature il moto di  $\rho$ , il moto della coordinata  $\theta$  si ottiene per integrazione diretta da  $\dot{\theta} = \frac{L}{\mu\rho^2}$ .

(d) Con i dati “iniziali (asintotici nel passato) assegnati, il moto di  $\mathbf{r}(t)$  si svolge sul piano 1-2, e quindi scriveremo ancora una volta  $\mathbf{r}(t) = (r_1(t), r_2(t))$ , con  $r_1(t) = \rho(t) \cos \theta(t)$  e  $r_2(t) = \rho(t) \sin \theta(t)$ . La traiettoria descritta da  $\mathbf{r}(t)$ , che chiameremo  $\mathcal{C}$ , ha due asintoti: uno, orizzontale, della forma  $r_2 = b$ , come segue dal dato “iniziale  $\mathbf{r}(t) \underset{t \rightarrow -\infty}{\simeq} (-v_0 t, b)$ ; uno, obliquo, della forma  $r_2 = m x_1 + q$ , con  $m = \tan 2\bar{\varphi}$ ,  $q = -\frac{b}{\cos 2\bar{\varphi}}$  e  $2\bar{\varphi} = \int_{-\infty}^{+\infty} \dot{\theta}(t) dt$ , che può essere calcolato dalle formule risolutive del moto:

$$\bar{\varphi} = \frac{L}{\mu} \int_{\rho_-}^{\infty} \frac{d\rho}{\rho^2 \sqrt{\frac{2}{\mu} \left( E - \frac{L^2}{2\mu\rho^2} - \frac{\alpha}{\rho^4} \right)}}$$

dove  $E = \frac{1}{2} \mu v_0^2$ ,  $L = \mu v_0 b$  e  $\rho_- = \sqrt{\frac{b^2}{2} + \sqrt{\frac{b^4}{4} + \frac{2\alpha}{\mu v_0^2}}}$ . In termini di quest'angolo, il comportamento asintotico nel futuro richiesto è dato da

$$\mathbf{r}(t) \underset{t \rightarrow +\infty}{\simeq} \left( v_0 t \sin 2\bar{\varphi}, v_0 t \cos 2\bar{\varphi} - \frac{b}{\cos 2\bar{\varphi}} \right)$$

2. Uno yo-yo è formato da un cilindro omogeneo di raggio  $R$  che può ruotare attorno al suo asse e si muove mantenendo il suo asse parallelo all'asse  $\hat{e}_1$  di un riferimento fisso  $\kappa$ . In tale sistema di riferimento, il centro di massa  $G$  dello yo-yo si muove lungo l'asse  $\hat{e}_3$  con legge oraria  $\mathbf{r}_G(t) = h(0, 0, \cos \alpha t - 1)$ , con  $\alpha, h > 0$ ; al contempo, lo yo-yo ruota attorno al suo asse con velocità angolare  $\omega(t) = \sin(\alpha t/2)$  (con la convenzione che segni opposti di  $\omega(t)$  corrispondono a versi di rotazione opposti dello yo-yo attorno all'asse). Una volta scelto un sistema di riferimento  $K$  solidale con lo yo-yo, si calcolino:

- la legge di trasformazione delle coordinate da  $\kappa$  a  $K$ ;
- la legge di trasformazione delle velocità da  $\kappa$  a  $K$ ;
- le forze fittizie presenti in  $K$  a causa del moto di  $K$  rispetto a  $\kappa$ , che agiscono su un punto materiale di massa  $m$ .

**Soluzione.**

È naturale scegliere un sistema di riferimento solidale con lo yo-yo con origine centrata in  $\mathbf{r}_G$ , asse  $\hat{\eta}_1$  coincidente con l'asse di rotazione  $\hat{e}_1$  e con assi  $\hat{\eta}_2, \hat{\eta}_3$  ottenuti ruotando rigidamente le coppia  $\hat{e}_2, \hat{e}_3$  attorno a  $\hat{e}_1$  di un angolo  $\theta(t) = \int_0^t \sin(\alpha t/2) = \frac{2}{\alpha}(1 - \cos(\alpha t/2))$ . Scegliamo inoltre il sistema di riferimento fisso  $\kappa$  coincidente con  $K$  all'istante iniziale  $t = 0$ . Con queste scelte le leggi di trasformazioni richieste sono le seguenti.

(a) Legge di trasformazione delle coordinate da  $\kappa$  a  $K$ :  $\mathbf{q} = B_t \mathbf{Q} + \mathbf{r}_G$ , i.e.,

$$\begin{pmatrix} q_1 \\ q_2 \\ q_3 \end{pmatrix} = \begin{pmatrix} 1 & 0 & 0 \\ 0 & \cos \theta(t) & -\sin \theta(t) \\ 0 & \sin \theta(t) & \cos \theta(t) \end{pmatrix} \begin{pmatrix} Q_1 \\ Q_2 \\ Q_3 \end{pmatrix} + \begin{pmatrix} 0 \\ 0 \\ h(\cos \alpha t - 1) \end{pmatrix}$$

con  $\theta(t) = \frac{2}{\alpha}(1 - \cos(\frac{\alpha t}{2}))$ .

(b) Definendo  $\mathbf{v} := \dot{\mathbf{q}}$  e  $\mathbf{V} := \dot{\mathbf{Q}}$ , la legge di trasformazione delle velocità da  $\kappa$  a  $K$  ha la forma  $\mathbf{v} = B_t(\mathbf{V} + \boldsymbol{\Omega} \wedge \mathbf{Q}) + \mathbf{v}_G$ , con  $\boldsymbol{\Omega}(t) = (\omega(t), 0, 0) = (\sin(\frac{\alpha t}{2}), 0, 0)$  e  $\mathbf{v}_G = \dot{\mathbf{r}}_G = h\alpha(0, 0, -\sin \alpha t)$ . In coordinate, questa legge di trasformazione prende la forma:

$$\begin{pmatrix} v_1 \\ v_2 \\ v_3 \end{pmatrix} = \begin{pmatrix} 1 & 0 & 0 \\ 0 & \cos \theta(t) & -\sin \theta(t) \\ 0 & \sin \theta(t) & \cos \theta(t) \end{pmatrix} \left[ \begin{pmatrix} V_1 \\ V_2 \\ V_3 \end{pmatrix} + \begin{pmatrix} 0 \\ -Q_3 \sin(\frac{\alpha t}{2}) \\ Q_2 \sin(\frac{\alpha t}{2}) \end{pmatrix} \right] + \begin{pmatrix} 0 \\ 0 \\ -h\alpha \sin \alpha t \end{pmatrix}$$

(c) Le forze fittizie presenti in  $K$  a causa del moto di  $K$  rispetto a  $\kappa$ , scritte nelle coordinate di  $K$ , che agiscono su un punto materiale di massa  $m$  sono:  $\mathbf{F} = -m\boldsymbol{\Omega} \wedge \mathbf{Q} - 2m\boldsymbol{\Omega} \wedge \mathbf{V} - m\boldsymbol{\Omega} \wedge (\boldsymbol{\Omega} \wedge \mathbf{Q}) - m\mathbf{A}_G$ , dove  $\boldsymbol{\Omega}(t) = \frac{\alpha}{2}(\cos(\frac{\alpha t}{2}), 0, 0)$  e  $\mathbf{A}_G = B_t^{-1} \ddot{\mathbf{r}}_G = -h\alpha^2(0, \sin \theta(t) \cos \alpha t, \cos \theta(t) \cos \alpha t)$ .

In coordinate, queste forze prendono la forma

$$\begin{pmatrix} F_1 \\ F_2 \\ F_3 \end{pmatrix} = \frac{m\alpha}{2} \cos\left(\frac{\alpha t}{2}\right) \begin{pmatrix} 0 \\ Q_3 \\ -Q_2 \end{pmatrix} + 2m \sin\left(\frac{\alpha t}{2}\right) \begin{pmatrix} 0 \\ V_3 \\ -V_2 \end{pmatrix} + \\ + m \sin^2\left(\frac{\alpha t}{2}\right) \begin{pmatrix} 0 \\ Q_2 \\ Q_3 \end{pmatrix} + mh\alpha^2 \cos \alpha t \begin{pmatrix} 0 \\ \sin \left[ \frac{2}{\alpha} (1 - \cos(\frac{\alpha t}{2})) \right] \\ \cos \left[ \frac{3}{\alpha} (1 - \cos(\frac{\alpha t}{2})) \right] \end{pmatrix}$$

3. Un cubo omogeneo di lato  $a$  e massa  $m$  è fissato a uno dei suoi vertici. Il moto del cubo attorno a tale punto fisso è descritto dalla seconda equazione cardinale della dinamica in assenza di forze esterne.
- Si scriva la matrice d'inerzia rispetto al punto fisso.
  - Si calcolino i momenti e gli assi principali di inerzia.
  - Si determinino i valori della velocità angolare corrispondenti a rotazioni stazionarie.
  - Si scrivano le equazioni di Eulero per le componenti della velocità angolare in un sistema di riferimento solidale con il cubo.
  - Si risolvano esplicitamente le equazioni di Eulero, al variare dei dati iniziali.
  - Si calcoli il periodo della soluzione  $\boldsymbol{\Omega}(t)$  alle equazioni di Eulero nel caso in cui il dato iniziale corrisponda a una rotazione di intensità  $\omega_0 = \frac{\pi}{6\sqrt{3}}$  rad/s attorno a uno degli spigoli del cubo passanti per il punto fisso.

**Soluzione.**

(a) Sia  $\rho = m/a^3$  la densità del cubo. Consideriamo un sistema di riferimento  $\tilde{K}$  solidale con il cubo con l'origine fissata nel punto fisso e gli assi orientati come i tre spigoli del cubo uscenti da  $\mathbf{O}$  e con i versi scelti in modo tale che il cubo occupi una porzione del primo ottaante di  $\tilde{K}$ . In altre parole, il cubo occupa la regione di  $\tilde{K}$  definita da:  $C := \{0 \leq \tilde{Q}_1 \leq a, 0 \leq \tilde{Q}_2 \leq a, 0 \leq \tilde{Q}_3 \leq a, \}$ , dove  $\tilde{\mathbf{Q}}$  sono le coordinate in  $\tilde{K}$ .

Per definizione, la matrice d'inerzia nelle coordinate di  $\tilde{K}$  rispetto a  $\mathbf{O}$  è:

$$\begin{aligned}
 I &= \rho \begin{pmatrix} \int_C (\tilde{Q}_2^2 + \tilde{Q}_3^2) d\tilde{\mathbf{Q}} & -\int_C \tilde{Q}_1 \tilde{Q}_2 d\tilde{\mathbf{Q}} & -\int_C \tilde{Q}_1 \tilde{Q}_3 d\tilde{\mathbf{Q}} \\ -\int_C \tilde{Q}_2 \tilde{Q}_1 d\tilde{\mathbf{Q}} & \int_C (\tilde{Q}_1^2 + \tilde{Q}_3^2) d\tilde{\mathbf{Q}} & -\int_C \tilde{Q}_2 \tilde{Q}_3 d\tilde{\mathbf{Q}} \\ -\int_C \tilde{Q}_3 \tilde{Q}_1 d\tilde{\mathbf{Q}} & -\int_C \tilde{Q}_3 \tilde{Q}_2 d\tilde{\mathbf{Q}} & \int_C (\tilde{Q}_1^2 + \tilde{Q}_2^2) d\tilde{\mathbf{Q}} \end{pmatrix} = \\
 &= ma^2 \begin{pmatrix} \frac{2}{3} & -\frac{1}{4} & -\frac{1}{4} \\ -\frac{1}{4} & \frac{2}{3} & -\frac{1}{4} \\ -\frac{1}{4} & -\frac{1}{4} & \frac{2}{3} \end{pmatrix}
 \end{aligned}$$

(b) Per simmetria, gli assi di inerzia sono la diagonale principale del cubo:  $\hat{\eta}_1 = (\frac{1}{\sqrt{3}}, \frac{1}{\sqrt{3}}, \frac{1}{\sqrt{3}})$  e tutti gli assi ortogonali a  $\hat{\eta}_1$ ; ad es, due scelte possibili degli assi  $\hat{\eta}_2, \hat{\eta}_3$  sono:  $\hat{\eta}_2 = (\frac{1}{\sqrt{2}}, -\frac{1}{\sqrt{2}}, 0)$  e  $\hat{\eta}_3 = (\frac{1}{\sqrt{6}}, \frac{1}{\sqrt{6}}, -\frac{2}{\sqrt{6}})$ . Un calcolo diretto mostra che tali assi sono in effetti invarianti sotto l'azione della matrice d'inerzia  $I$  e, più precisamente:

$$I\hat{\eta}_1 = \frac{1}{6}\hat{\eta}_1, \quad I\hat{\eta}_2 = \frac{11}{12}\hat{\eta}_2, \quad I\hat{\eta}_3 = \frac{11}{12}\hat{\eta}_3,$$

il che mostra che i momenti principali di inerzia sono  $I_1 = \frac{1}{6}$  e  $I_2 = I_3 = \frac{11}{12}$ . Chiamiamo  $K$  il sistema di riferimento solidale con il cubo, con origine nel punto fisso e assi coordinati coincidenti con  $\hat{\eta}_1, \hat{\eta}_2, \hat{\eta}_3$ .

(c) Le rotazioni stazionarie corrispondono a vettori della velocità angolare orientati lungo gli assi principali di inerzia. Nelle coordinate di  $K$ , i dati iniziali per la velocità angolare corrispondenti a rotazioni stazionarie sono tutti e soli i vettori della forma  $\boldsymbol{\Omega} = (\Omega_1, 0, 0)$  o  $\boldsymbol{\Omega} = (0, \Omega_2, \Omega_3)$ .

(d) Le equazioni di Eulero in  $K$  prendono la forma:

$$\begin{cases} \frac{1}{6}\dot{\Omega}_1 = 0 \\ \frac{11}{12}\dot{\Omega}_2 = \frac{9}{12}\Omega_1\Omega_3 \\ \frac{11}{12}\dot{\Omega}_3 = -\frac{9}{12}\Omega_1\Omega_2 \end{cases}$$

(e) Le equazioni di Eulero implicano che:  $\Omega_1(t) \equiv \Omega_1(0)$  e

$$\begin{cases} \dot{\Omega}_2 = \frac{9}{11}\Omega_1(0)\Omega_3 \\ \dot{\Omega}_3 = -\frac{9}{11}\Omega_1(0)\Omega_2 \end{cases}$$

Ponendo  $z = \Omega_2 + i\Omega_3$  l'equazione precedente si riduce a:  $\dot{z} = -i\frac{9}{11}\Omega_1(0)z$ , che è risolta da  $z(t) = e^{-i\frac{9}{11}\Omega_1(0)t}z(0)$ , ovvero:

$$\Omega_2(t) = \operatorname{Re}\left\{e^{-i\frac{9}{11}\Omega_1(0)t}(\Omega_2(0)+i\Omega_3(0))\right\}, \quad \Omega_3(t) = \operatorname{Im}\left\{e^{-i\frac{9}{11}\Omega_1(0)t}(\Omega_2(0)+i\Omega_3(0))\right\}.$$

(f) Siano  $\tilde{\eta}_1, \tilde{\eta}_2, \tilde{\eta}_3$  gli assi coordinati di  $\tilde{K}$ , orientati come i tre spigoli del cubo uscenti dal punto fisso. Sappiamo che la matrice di cambiamento di base da  $K$  a  $\tilde{K}$  è data da:

$$\begin{pmatrix} \tilde{\eta}_1 \\ \tilde{\eta}_2 \\ \tilde{\eta}_3 \end{pmatrix} = \begin{pmatrix} \frac{1}{\sqrt{3}} & \frac{1}{\sqrt{2}} & \frac{1}{\sqrt{6}} \\ \frac{1}{\sqrt{3}} & -\frac{1}{\sqrt{2}} & \frac{1}{\sqrt{6}} \\ \frac{1}{\sqrt{3}} & 0 & -\frac{2}{\sqrt{6}} \end{pmatrix} \begin{pmatrix} \hat{\eta}_1 \\ \hat{\eta}_2 \\ \hat{\eta}_3 \end{pmatrix}$$

Quindi, se la velocità angolare iniziale è della forma  $\omega_0\tilde{\eta}_j$ , con  $j \in \{1, 2, 3\}$ , abbiamo che  $\Omega_1(0) = \frac{\omega_0}{\sqrt{3}}$ , che implica che il periodo del moto corrispondente è  $T = 2\pi\frac{11}{9\Omega_1(0)} = 44$  s.